

deg $\nu P_L(\nu, z)$ と Seifert circles の最小数

小林一章

東京女子大学 文理学部

§0. Introduction

$P_L(\nu, z)$ を次の (i), (ii) によって定義される 2 変数 Jones 多項式とする (i) L が trivial knot $\Rightarrow P_L(\nu, z) = 1$

(ii) L_+, L_-, L_0 は 1 つの交叉集の近こで 図 1 のようになっており他の部分では一致しているような 3 つの oriented link とする
 $\Rightarrow \nu^{-1} P_{L_+} - \nu P_{L_-} = z P_{L_0}$.

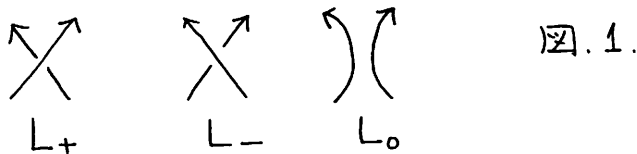


図. 1.

Yamada [Y] は L の braid index, $b(L)$, と L の diagram \tilde{L} の Seifert circles の数, $s(\tilde{L})$, に関して次のような定理を証明した

定理 (Yamada [Y]) L を oriented link とし \tilde{L} を L の 1 つの oriented diagram とする $b(L)$ を L の braid index, $s(\tilde{L})$ を \tilde{L} の Seifert circles の個数 とする

$$\Rightarrow b(L) = \min_{\tilde{L} \in L} s(\tilde{L})$$

一方 H. Morton ([M]) は ν に属する P_L の次数, $\deg_\nu P_L$, \tilde{L} の代数的交叉数, $\tilde{c}(\tilde{L})$, $s(\tilde{L})$ 等の間の関係を示した.

定理 (Morton [M]) $h\text{-deg}_\nu P_L$, $l\text{-deg}_\nu P_L$ を各々 ν に属する P_L の最高次数と最低次数とする

$$\Rightarrow \tilde{c}(\tilde{L}) - (s(\tilde{L}) - 1) \leq l\text{-deg}_\nu P_L \leq h\text{-deg}_\nu P_L \leq \tilde{c}(\tilde{L}) + (s(\tilde{L}) - 1)$$

ν に属する P_L の reduced degree, $r\text{-deg}_\nu P_L$, を

$$r\text{-deg}_\nu P_L \equiv (h\text{-deg}_\nu P_L) - (l\text{-deg}_\nu P_L) \quad \text{と定義する}$$

上の Morton の定理によつて

$$r\text{-deg}_\nu P_L \leq 2(s(\tilde{L}) - 1) \quad \text{が示される.}$$

よつて Yamada の定理より $b(L)$ を求めるには $\min_{\tilde{L}} s(\tilde{L})$

を求めればよい. 従つて上の等号がいつ成立するかを調べればよい事になる

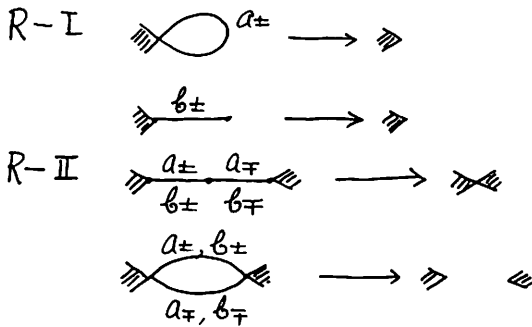
注. $r\text{-deg}_\nu P_L = 2(s(\tilde{L}) - 1)$ が成立

$$\Leftrightarrow \begin{aligned} l\text{-deg}_\nu P_L &= \tilde{c}(\tilde{L}) - (s(\tilde{L}) - 1) \quad \text{且つ} \\ h\text{-deg}_\nu P_L &= \tilde{c}(\tilde{L}) + (s(\tilde{L}) - 1) \end{aligned}$$

\tilde{L} を oriented link diagram とし G (又は $G[\tilde{L}]$) を \tilde{L} から導かれる oriented coded graph とする. (oriented coded graph については [K₁], [K₂] を参照) 以下で例之は $G = G_{a+}$, $G_{a+} \cup G_{b-}$ 等と書いた時は G の edges が全て $a+$ code, $a+$ code と $b-$ code とある事を示す oriented link diagram から導かれた oriented coded graph を単に link の graph という事もある

定義 graph G の multi-edges を single edge に変えた graph を G の基本グラフと云い F_G とかく

定義. graph G において下図の一方方向の R-I, R-II moves 及び両方向の R-III moves が出来ない時 G は R-reduced であるという. (R-III moves については $[K_1], [K_2]$ 参照).



注. $G = G_{a+}$ 又は G_{a-} のときは G に loop がなければ G は R-reduced 又 $G = G_{b+}$ 又は G_{b-} のときは degree 1 の頂点があれば G は R-reduced, $G = G_{a±} \cup G_{b∓}$ (複号同順) の時は loop と degree 1 の頂点があれば R-reduced.

定理1 G を oriented link diagram \tilde{L} のグラフとする.

$G = G_{b+}$ 又は G_{b-} で G の全ての edges が multi-edge である (従って G は R-reduced)

$\Rightarrow \tilde{L}\text{-deg}, PL = 2(s(\tilde{L}) - 1)$ ただし L は \tilde{L} が属する oriented link type 従ってこの時 Seifert circles の数は最小.

定理2 G を oriented link diagram \tilde{L} のグラフとする

$G = G_{a+}$ (resp. G_{a-}) で R-reduced 且 G の基本グラフ F_G が tree になっている.

$\Rightarrow s(\tilde{L})$ は \tilde{L} の属する link type L の positiv (resp.

negative) diagram 中 最小の Seifert circle 数 を表わしている。

§1. 定理の証明

Lemma 1 次の条件を全てみたす平面グラフは存在しない

- (i) multi-edges はない
- (ii) 全ての頂点の degree が 4以上
- (iii) $R^2 - G$ の全ての多辺形が 4辺形以上
- (iv) cut edges はない

Proof. X を集合としたとき $\#X$ で X の要素の数を表わすとする。また $V(G)$, $E(G)$, $R(G)$ で各々グラフ G の頂点の集合, 辺の集合, $R^2 - G$ の領域の集合とする。

G が上の条件 (i) - (iv) を全て満足しているとする。

$$(i), (ii) \text{ より } 4\#V(G) \leq 2\#E$$

$$(iii), (iv) \text{ より } 4\#R(G) \leq 2\#E$$

平面グラフに適用するオイラーの定理より

$$2 = \#V(G) - \#E(G) + \#R(G) \leq \frac{1}{2}\#E - \#E + \frac{1}{2}\#E = 0$$

これは矛盾。従って (i) - (iv) を全てみたす平面グラフ G はない。

定理1の証明 (I) $G = G_+$ で全ての edges は multi-edges とする (従って G は R -reduced)

G_+ に対し次のような resolution を作る。

- (a) multi-edges の部分を以下のように single edge 又は empty edge になる迄 crossing change と smoothing を行なう。ただし single edge の所は b_+ の所として止めておく (b_- code にはしない) (図2)

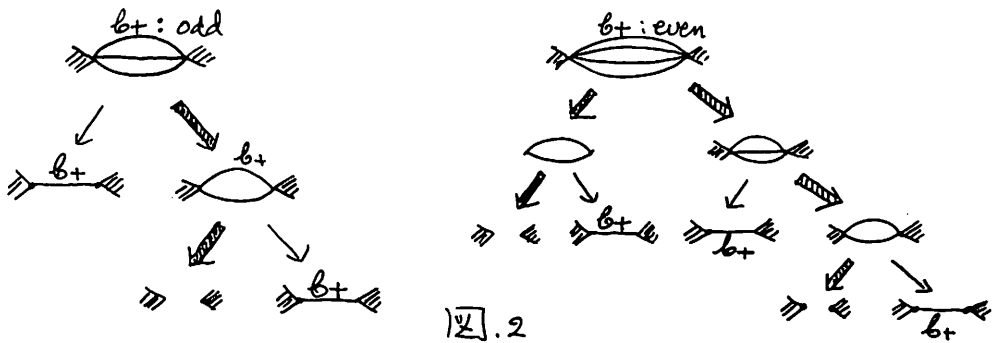
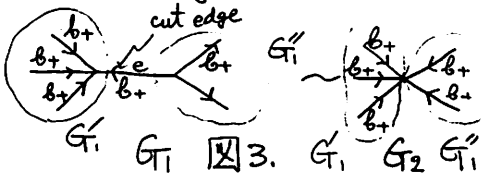


図2

(太い矢印は $r\text{-deg}_v P_L$ を与える所. 後述). このような resolution を全ての multi-edges の所で行うと $b+$ code の外をむつ simple graph (一般に non-connected) が出来る. その1つの連結成分を G_1 とすると G_1 が1点でないときは lemma 4)

- (i) cut edges がある (ii) degree 3 以下の頂点があるか又は
- (iii) $R^2 - G_1$ が3辺開きを含む (2辺開きは無い) のいずれかが起る

(i) cut edge があるときは 下図3. のように e が cut edge



としたとき $G_1 - \{e\} = G_1' \cup G_1''$ とおくと G_1 が表わす link diagram \tilde{L}_1 と e を contract して出来る G_1 と G_2 の1点で

の join から出来るグラフ G_2 が表わす link diagram \tilde{L}_2 とは 同じ oriented link type に属している (ただし G_2 では G_1 又は G_1' のいずれか一方のグラフ上の orientation が反対になる.)

$G = G_2$ の時 $s(\tilde{L}) = \#V(G \cap \mathbb{R}^2)$, $\tilde{c}(\tilde{L}) = \sum_{e_i \in E} \varepsilon(e_i)$ \therefore

$E = E(G \cap \mathbb{R}^2)$. $\varepsilon(e_i) = \begin{cases} 1 & \text{もし edge } e_i \text{ が 交叉点 } \nearrow \nwarrow \text{ に反対向き} \\ -1 & \text{ " " } \searrow \swarrow \text{ " } \end{cases}$

であるから $\tilde{c}(\tilde{L}_{G_1}) = \tilde{c}(\tilde{L}_{G_2}) + 1$, $s(\tilde{L}_{G_1}) = s(\tilde{L}_{G_2}) + 1$
 従って $l\text{-deg}_v P_{L_2} = \tilde{c}(\tilde{L}_{G_2}) - (s(\tilde{L}_{G_2}) - 1)$ なる $l\text{-deg}_v P_{L_1}$
 $= l\text{-deg}_v P_{L_2} = \tilde{c}(\tilde{L}_{G_1}) - (s(\tilde{L}_{G_1}) - 1)$ なる $h\text{-deg}_v P_{L_2} = \tilde{c}(\tilde{L}_{G_2})$
 $+ (s(\tilde{L}_{G_2}) - 1)$ であるから $h\text{-deg}_v P_{L_1} = h\text{-deg}_v P_{L_2} = \tilde{c}(\tilde{L}_{G_1}) + (s(\tilde{L}_{G_1}) - 1) - 2$ となる.

(ii) degree 3 以下の頂点があるとき

(a) degree 1 の頂点があるとき の時は cut edge がある事になるので (i) の変形を行なう

(b) degree 2 の頂点があるとき, 図4(a) の crossing change

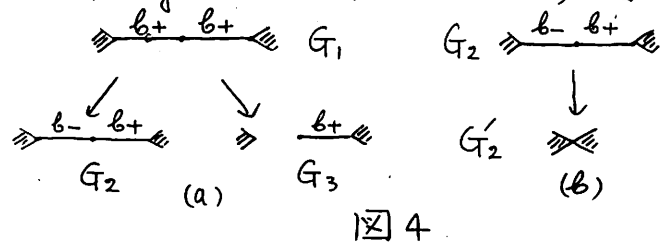


図4

と smoothing を行ない G_2 に戻しては更に 図4(b) の R-II move を行なう。すると $\tilde{c}(\tilde{L}_{G_2}) = \tilde{c}(\tilde{L}_{G'_2})$, $s(\tilde{L}_{G_2}) = s(\tilde{L}_{G'_2}) + 2$ 従って $l\text{-deg}_v PL_{G_2} = \tilde{c}(\tilde{L}_{G_2}) - (s(\tilde{L}_{G_2}) - 1)$ であるから $l\text{-deg}_v PL_{G_2} = l\text{-deg}_v PL_{G'_2} = \tilde{c}(\tilde{L}_{G_2}) - (s(\tilde{L}_{G_2}) - 1) + 2$, $h\text{-deg}_v PL_{G_2} = \tilde{c}(\tilde{L}_{G_2}) + (s(\tilde{L}_{G_2}) - 1)$ であるから $h\text{-deg}_v PL_{G_2} = h\text{-deg}_v PL_{G'_2} = \tilde{c}(\tilde{L}_{G_2}) + (s(\tilde{L}_{G_2}) - 1) - 2$

グラフ G_3 に戻しては (ii)(a) (又は (i)) と同じ変形をする

(c) degree 3 の頂点があるとき 先ず 図5(a) の crossing

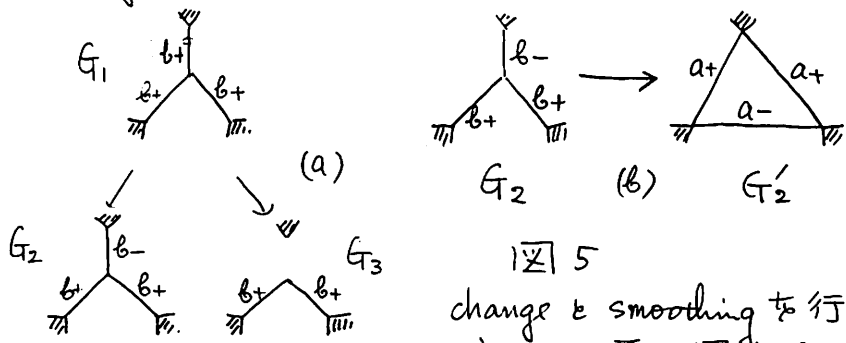


図5

change と smoothing を行ない, G_2 に戻しては更に 図5(b) の R-III move を行なう。すると $\tilde{c}(\tilde{L}_{G_2}) = \tilde{c}(\tilde{L}_{G'_2})$, $s(\tilde{L}_{G_2}) = s(\tilde{L}_{G'_2}) + 2$ 従って $l\text{-deg}_v PL_{G_2} = \tilde{c}(\tilde{L}_{G_2}) - (s(\tilde{L}_{G_2}) - 1)$ であるから $l\text{-deg}_v PL_{G_2} = l\text{-deg}_v PL_{G'_2} = \tilde{c}(\tilde{L}_{G_2}) - (s(\tilde{L}_{G_2}) - 1) + 2$, $h\text{-deg}_v PL_{G_2} = \tilde{c}(\tilde{L}_{G_2}) + (s(\tilde{L}_{G_2}) - 1)$ であるから $h\text{-deg}_v PL_{G_2} = h\text{-deg}_v PL_{G'_2} = \tilde{c}(\tilde{L}_{G_2}) + (s(\tilde{L}_{G_2}) - 1) - 2$

グラフ G_3 に戻しては (ii)(b) の変形を行おう

(iii) 3辺開きが存在するとき (multi-edge はたいてい 2辺開きから起る事はたいてい) 先ず図 6(a) の crossing change と smoothing

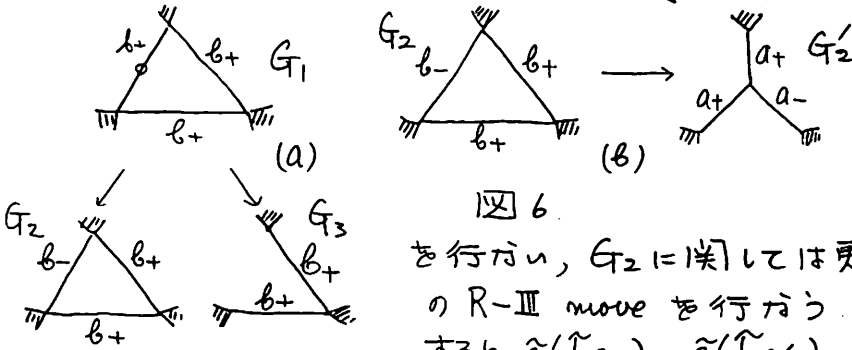


図 6

を行おう, G_2 に戻しては更に図 6(b) の R-III move を行おう.

すると $\tilde{c}(\tilde{L}_{G_2}) = \tilde{c}(\tilde{L}_{G_2'})$, $s(\tilde{L}_{G_2}) =$

$s(\tilde{L}_{G_2'}) + 2$ 従って $l\text{-deg}_v PL_{G_2} = \tilde{c}(\tilde{L}_{G_2'}) - (s(\tilde{L}_{G_2'}) - 1)$ である
 ても $l\text{-deg}_v PL_{G_2} = l\text{-deg}_v PL_{G_2'} = \tilde{c}(\tilde{L}_{G_2}) - (s(\tilde{L}_{G_2}) - 1) + 2$,
 $h\text{-deg}_v PL_{G_2} = \tilde{c}(\tilde{L}_{G_2}) + (s(\tilde{L}_{G_2}) - 1)$ であるても $h\text{-deg}_v PL_{G_2} =$
 $h\text{-deg}_v PL_{G_2'} = \tilde{c}(\tilde{L}_{G_2}) + (s(\tilde{L}_{G_2}) - 1) - 2$ グラフ G_3 に戻しては
 (i) ~ (iii) のいずれかが再び起る.

以上よりグラフ G の全ての multi-edges の \neq を b_+ -code をもつ single edge 又は empty edge にして graph の connected subgraph G_1 がもし edges をもてば必ず

$$(*) \begin{cases} \tilde{c}(\tilde{L}_{G_1}) - (s(\tilde{L}_{G_1}) - 1) < l\text{-deg}_v PL_{G_1} \text{ かつ} \\ \tilde{c}(\tilde{L}_{G_1}) + (s(\tilde{L}_{G_1}) - 1) > h\text{-deg}_v PL_{G_1} \end{cases}$$

$$\text{又は } (**) \begin{cases} \tilde{c}(\tilde{L}_{G_1}) - (s(\tilde{L}_{G_1}) - 1) = l\text{-deg}_v PL_{G_1} \text{ かつ} \\ \tilde{c}(\tilde{L}_{G_1}) - (s(\tilde{L}_{G_1}) - 1) > h\text{-deg}_v PL_{G_1} \text{ かつ起る} \end{cases}$$

従って全ての multi-edges の部分で empty-edges となる resolution branch (図 2 の太い矢印の branch) のみか $r\text{-deg}_v PL_{\hat{G}} = 2(s(\tilde{L}_{\hat{G}}) - 1)$ を保っていることになる。ここで \hat{G} は resolution の各 step における graph または n -成分の trivial link の R-reduced diagram (i.e. n 頂点のみから成る自明な graph) G_0 において $r\text{-deg}_v PL_{G_0} = 2(n-1) = 2(s(\tilde{L}_{G_0}) - 1)$ が成立している上の crossing changes と smoothings は全て b_+ -code の \neq で

行なわれたので P_L の一般式は次のようになる。

$$P_L = \sum_{i=1}^m \nu^{2r_i} (\nu z)^{s_i} \left(\frac{\nu^{-1} - \nu}{z} \right)^{k_i - 1} \quad \text{ここで resolution tree の outermost links}$$

(全て trivial link) は initial changing branch の所から L_1 から initial smoothing branch の L_m 迄あるとしており、 L_i から L_{i+1} に到る迄に crossing changes を r_i 回, smoothing を s_i 回行ない、 L_i の成分の個数が k_i 個であるとしている。上の和 \sum において正負の係数で打ち消し合う可能性のあるのは $\left(\frac{\nu^{-1} - \nu}{z} \right)^{k_i - 1}$ の ν の係数の -1 が関係している所なので $h\text{-deg}_\nu P_L$ にこの負符号は影響はない。また $h\text{-deg}_\nu P_L$ に関係しては (*), (**) より図2の太い矢印の branch の所で $h\text{-deg}_\nu P_L$ に到達するのであるが、太い矢印の branch の outermost trivial link のグラフは R -reduced (i.e. 頂点のみから成るグラフ) でその成分の個数, k_i , は $k_i = \max_{1 \leq j \leq m} \{k_j\}$

$= \#V(G)$ (一定) 従って係数の正負の符号で打ち消し合う事は無い。実際 (n_1, n_2, \dots, n_p) を各 multi-edges の本数とすると図2の resolution より

$$h\text{-deg}_\nu P_L = (n_1 + n_2 + \dots + n_p) + (\#V(G) - 1)$$

$$l\text{-deg}_\nu P_L = (n_1 + n_2 + \dots + n_p) - (\#V(G) - 1)$$

従って $r\text{-deg}_\nu P_L = 2(\#V(G) - 1) = 2(s(\tilde{L}_G) - 1)$

(II) $G = G_{\bar{L}}$ の時、これから得られる link diagram \tilde{L} の全ての crossing の上下を入れかえた link diagram は \tilde{L} の mirror image $\tilde{L}!$ であり、そのグラフ $G!$ の全ての edges の code は \bar{L} 従って $P_L(\nu, z) = P_{L!}(-\nu^{-1}, z)$ であり $h\text{-deg}_\nu P_L = (-1) \times (h\text{-deg}_\nu P_{L!})$
 $l\text{-deg}_\nu P_L = (-1) \times (l\text{-deg}_\nu P_{L!})$ よって $r\text{-deg}_\nu P_L = (-1) \times (l\text{-deg}_\nu P_{L!}) + (h\text{-deg}_\nu P_{L!}) = r\text{-deg}_\nu P_{L!} = 2(s(\tilde{L}!) - 1) = 2(s(\tilde{L}) - 1)$

例1 以下の例は定理1において multi-edges の条件をはずすと定理の結論が成立しない例である。oriented link L の oriented diagram \tilde{L} のグラフ G が図7で与えられている

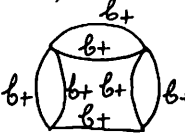
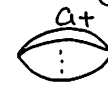
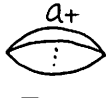
とする 
$$P_L = v^2 \left(\frac{v-v^3}{z} + vz \right)^2 + v^2 \cdot vz \left\{ v^4 \frac{v^1-v}{z} + 2v^3 z \right. \\ \left. + v^2 (vz)^2 \frac{v^1-v}{z} + (vz)^3 \right\} + (vz)^2 \left(\frac{v-v^3}{z} + vz \right)^2$$

図7. 従って $h\text{-deg}_v P_L = 8$, $l\text{-deg}_v P_L = 4$
 $\therefore l\text{-deg}_v P_L = 4$, 一方 $s(\tilde{L}) = 4$ 従って $l\text{-deg}_v P_L < 2(s(\tilde{L}) - 1)$

定理2の証明. oriented coded graph G は link diagram から作られたものだから各頂点に集まる a -code edges は偶数個 ($[K_2]$) しかも G の基本グラフ F_G が tree だから G の全ての edges は multi-edges になっており各 multi-edges は全て偶数. 之にて multi-edges の本数を各々 $(2n_1, 2n_2, \dots, 2n_p)$ とする. 各 edge の code は仮定より $a+$, F_G で $\frac{2n_i a+}{2}$,

G で  $\} 2n_i$ とかける G の subgraph を G_i , 之れに対応する oriented link を L_i とすると graph の cut vertex の所で link は connected sum になるから $L = \#_{i=1}^p L_i$

従って $P_L = \prod_{i=1}^p P_{L_i}$ 従って $l\text{-deg}_v P_L = \sum_{i=1}^p (l\text{-deg}_v P_{L_i})$

之にて  $\} 2n$ というグラフ G_{2n} をもつ link L_{2n} の多項式は $P_{L_{2n}} = v^2 P_{L_{2(n-1)}} + vz = v^{2n} \cdot \frac{v^1-v}{z} + \sum_{i=0}^{n-1} v^{2i} (vz)$

従って $h\text{-deg}_v P_{L_{2n}} = 2n+1$, $l\text{-deg}_v P_{L_{2n}} = 1$

また $s(\tilde{L}_{2n}) = 2n$

定理の結論を出すには link type L の positive diagrams のみを考へればよいから Morton の不等式より

$s(\tilde{L}) \geq \tilde{c}(\tilde{L}) + 1 - (l\text{-deg}_v P_L) = c(\tilde{L}) + 1 - p \quad \therefore c(\tilde{L})$

は diagram \tilde{L} の交叉点数 之にて L は alternating link だから $[Mu]_1$ より alternating diagram の一つである

最小の交叉数をもち、上の \tilde{L} の graph は 'alternating diagram' の graph 従って $c(\tilde{L}) = 2(n_1 + n_2 + \dots + n_p)$ は L の diagram 中の最小交叉数

よって $s(\tilde{L}) = \sum_{i=1}^p (2n_i - 1) + 1 = c(\tilde{L}) + 1 - (l - \deg_{\nu} P_L)$ である
 この $s(\tilde{L})$ は \tilde{L} の属している link type L の positive diagram 中 最小の Seifert circle 数を表わしている

$G = G_a$ で F_G が tree の時も同様に考えると $P_L = \prod_{i=1}^p P_{L_i}$
 従って $h - \deg_{\nu} P_L = \sum_{i=1}^p (h - \deg_{\nu} P_{L_i})$.

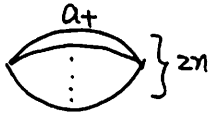
$$P_{L_{2n}} = \nu^{-2n} \frac{\nu^{-1} - \nu}{2} + \sum_{i=0}^{n-1} \nu^{-2i} (-\nu^{-1} z)$$

従って $h - \deg_{\nu} P_{L_{2n}} = -1$, $l - \deg_{\nu} P_{L_{2n}} = -(2n+1)$.

今度は link type L の negative diagrams のみを考えれば
 よいから $s(\tilde{L}) \geq (h - \deg_{\nu} P_L) + 1 - c(\tilde{L}) = (h - \deg_{\nu} P_L) + 1 + c(\tilde{L})$
 だが上の計算より $s(\tilde{L}) = (h - \deg_{\nu} P_L) + 1 + c(\tilde{L})$ である
 [M4] より $c(\tilde{L})$ は L の diagram 中で最小の交叉数を表わしているから
 この $s(\tilde{L})$ は L の negative diagram 中 最小の Seifert 数を表わしている。

注. 定理2の証明からわかるように $G = G_a$ 又は G_b である
 $s(\tilde{L}) = c(\tilde{L}) + 1 - (l - \deg_{\nu} P_L)$ が成り立っている時 $s(\tilde{L})$
 は \tilde{L} の属している link type L の positive diagram 中 最小
 の Seifert circle 数を表わしている. 例として上の graph
 から作られる link diagram \tilde{L} に対し $s(\tilde{L}) = 4$, $c(\tilde{L})$
 $= 7$, $l - \deg_{\nu} P_L = 4$ 従って $s(\tilde{L}) = c(\tilde{L}) + 1 - (l - \deg_{\nu} P_L)$
 が成立. 従ってこの時 $s(\tilde{L})$ は \tilde{L} の属している link type
 L の positive diagram 中 最小の Seifert 数を表わして
 いる.

例2. link L の diagram \tilde{L} の $\Gamma \rightarrow G$ が $\square 8$ の ような



時
$$P_L = v^{2n} \frac{v^{-1} - v}{z} + \sum_{i=0}^{n-1} v^{2i} (vz)$$

従って $h\text{-deg} v P_L = 2n+1$, $l\text{-deg} v P_L = 1$

$\therefore r\text{-deg} v P_L = 2n$, $s(\tilde{L}) = 2n$

従って $r\text{-deg} v P_L \leq 2(s(\tilde{L}) - 1)$ で等号は $n=1$ の時

のみ 従って $n \geq 2$ の時 $r\text{-deg} v P_L$ で \tilde{L} の 属する link type L の 最小の Seifert 数を決定は出来ないから この $s(\tilde{L})$ は L の positive diagram 中の 最小の Seifert circle 数を与えていゝ事から 定理 2 から示される

References.

- [FYHLM0] Freyd, Yetter, Hoste, Lickorish, Millet and Ocneanu, "A new polynomial invariant of knots and links," Bull. A.M.S. 12 (1985) 239-246.
- [K₁] Kobayashi, K, "グラフと絡み輪に關する多項式" 数理解析研講究録 566 (1985) 130-144
- [K₂] Kobayashi, K, "Coded graph of oriented links and Homfly polynomial." to appear.
- [M] Morton, H, "Seifert circles and knot polynomials" to appear
- [Mu] Murasugi, K, "Jones polynomials and classical conjectures in knot theory" to appear.
- [Y] Yamada, S, "The minimal number of Seifert circles equals the braid index of a link," to appear.